



# 数字信号处理

# Digital Signal Processing

付中华

[mailfzh@nwpu.edu.cn](mailto:mailfzh@nwpu.edu.cn)

<http://www.nwpu-aslp.org/gary/>



## 第四部分(I)

# 无限冲激响应数字滤波器设计

- 1. 滤波器的基本概念
- 2. 模拟低通滤波器设计
  - 1) 巴特沃思模拟低通滤波器设计
  - 2) 切比雪夫I型模拟低通滤波器设计
- 3. 从模拟低通到其他类型模拟滤波器
- 4. 冲激响应不变法设计IIR数字低通滤波器(DLF)
- 5. 双线性Z变换法设计IIR DLF
- 6. 其他类型数字滤波器设计



# 1. 滤波器的基本概念

## ■ 滤波器设计

- 给定目标滤波器参数，设计出符合要求的滤波器(冲激响应、传递函数等)，属于离散时间系统的综合

## ■ 滤波器的概念

- 可根据功能、实现方法、设计方法进行不同的分类
- 两大类
  - 经典滤波器：有用成分和待滤除成分占据不同频带
  - 现代滤波器：信号和噪声的频谱相互重叠——关键在于从含噪信号中估计信号的某些特征或信号本身，进而提高信噪比。基于随机信号处理理论，用统计特征(自相关函数、功率谱、高阶谱等)导出最佳估值算法。如：维纳滤波器、卡尔曼滤波器、线性预测器、自适应滤波器等

**需要丰富扎实的线性代数、概率统计、随机过程、自动控制、模式识别等知识才能学好现代信号处理**





# 1. 滤波器的基本概念

- 经典滤波器(从功能上分)
  - (LP,HP,BP,BS) × (AF,DF)
  - DF从实现方法上，又分IIR滤波器和FIR滤波器

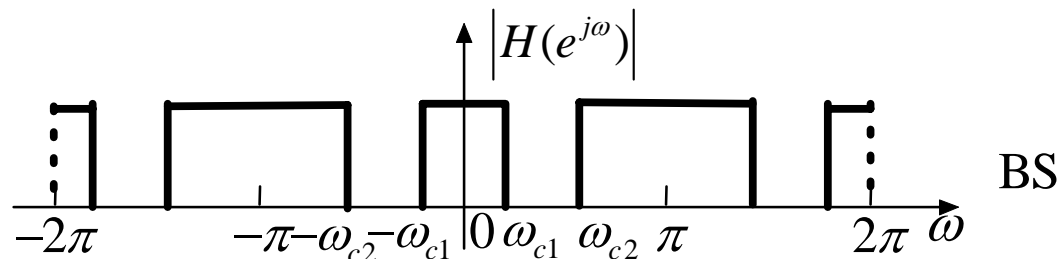
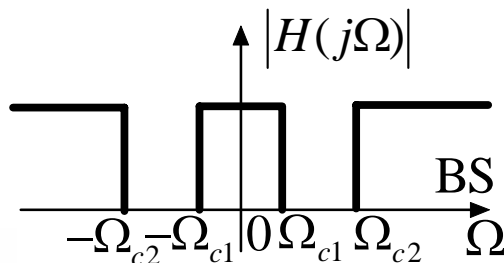
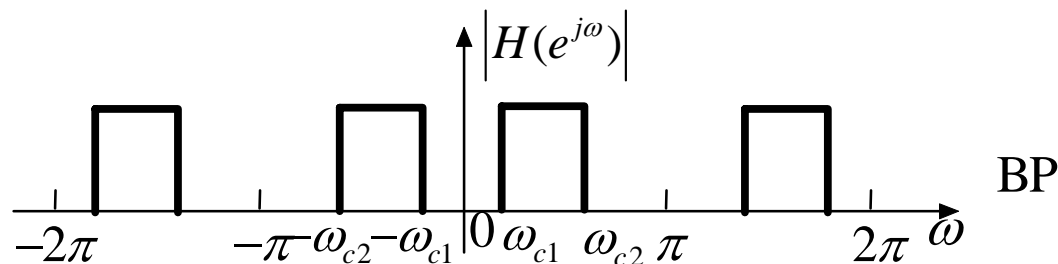
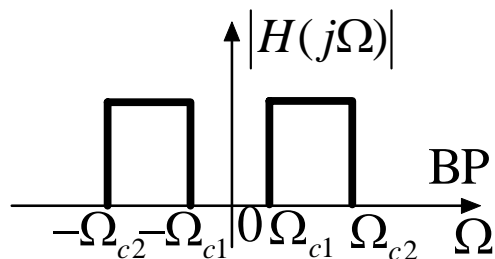
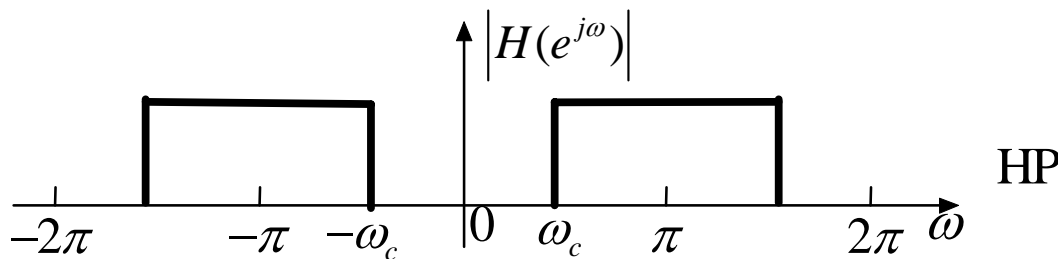
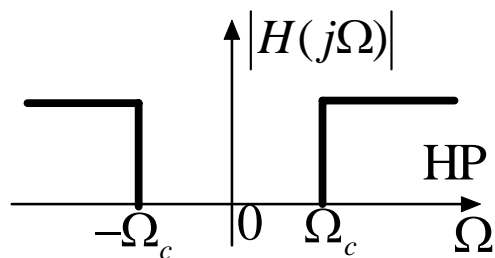
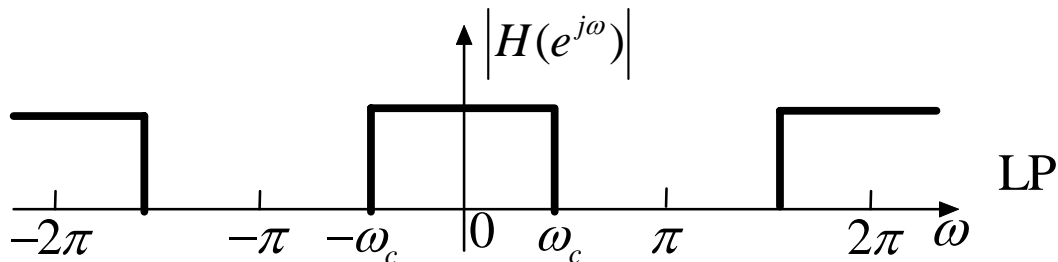
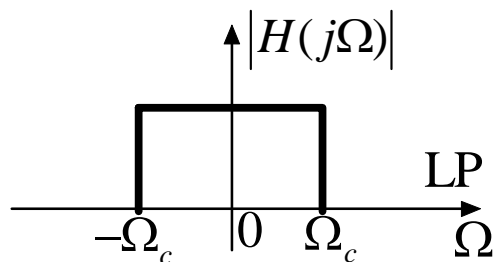
$$\text{IIR DF的转移函数 } H(z) = \frac{\sum_{r=0}^M b_r z^{-r}}{1 + \sum_{k=1}^N a_k z^{-k}} \text{ 或 } \frac{\sum_{r=0}^M b_r z^{-r}}{\sum_{k=0}^N a_k z^{-k}}, (a_0 = 1)$$

$$\text{FIR DF的转移函数 } H(z) = \sum_{r=0}^M h(n) z^{-r}$$

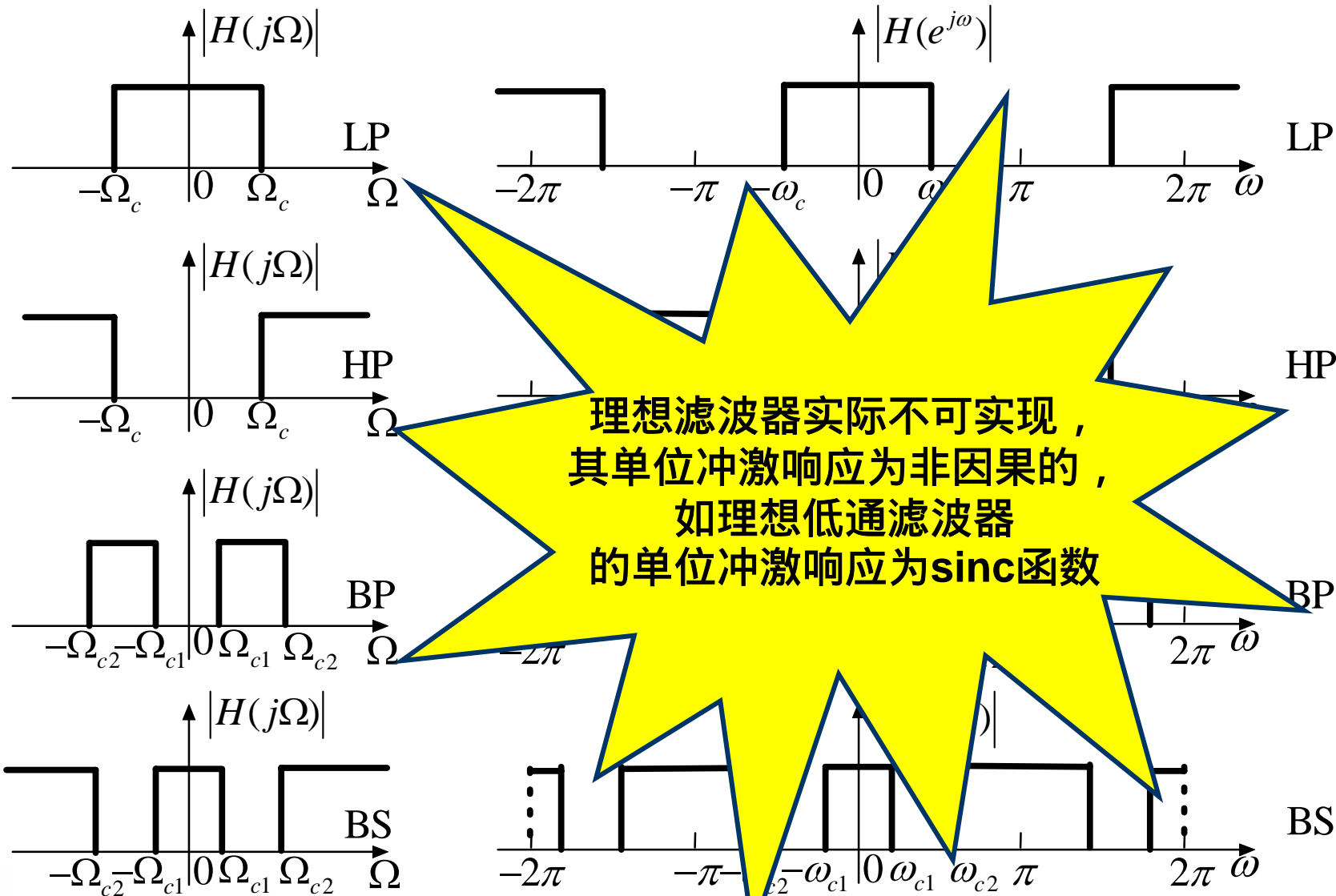
注意FIR的转移函数系数实质上就是单位冲激响应；IIF的转移函数可以看成是两个FIR转移函数的商，想想已知IIF的H(z)分子分母系数，如何求其频率响应？



# 1. 滤波器的基本概念——理想AF和DF



# 1. 滤波器的基本概念——理想AF和DF





# 1. 滤波器的基本概念

## ■ 滤波器的技术要求

- 理想滤波器频响有突变，导致物理不可实现
- 在突变附近设置一个过渡带，在通带和子带内允许有一定的波动误差
- 常用技术指标
  - 通带允许的最大衰减(通带波纹)

$$a_p = 20\lg \frac{|H(e^{j\omega_0})|}{|H(e^{j\omega_p})|} = 20\lg \frac{1}{|H(e^{j\omega_p})|} = -20\lg |H(e^{j\omega_p})|$$

- 阻带应达到最小衰减(阻带衰减)

$$a_s = 20\lg \frac{|H(e^{j\omega_0})|}{|H(e^{j\omega_s})|} = 20\lg \frac{1}{|H(e^{j\omega_s})|} = -20\lg |H(e^{j\omega_s})|$$

$\omega_0$ 为通带  
最大增益  
对应频率  
通常认为  
 $\omega_0$ 处信号  
无损通过

# 1. 滤波器的基本概念

## ■ 滤波器的技术要求

- 理想滤波器频响有突变，导致物理不可实现
- 在突变附近设置一个过渡带，在通带和子带内允许有一定的波动误差
- 常用技术指标
  - 通带允许的最大衰减(通带波纹)

$$a_p = 20\lg \frac{|H(e^{j\omega_0})|}{|H(e^{j\omega_p})|} = 20\lg \frac{1}{|H(e^{j\omega_p})|} = -20\lg |H(e^{j\omega_p})|$$

- 阻带应达到最小衰减(阻带衰减)

$$a_s = 20\lg \frac{|H(e^{j\omega_0})|}{|H(e^{j\omega_s})|} = 20\lg \frac{1}{|H(e^{j\omega_s})|} = -20\lg |H(e^{j\omega_s})|$$

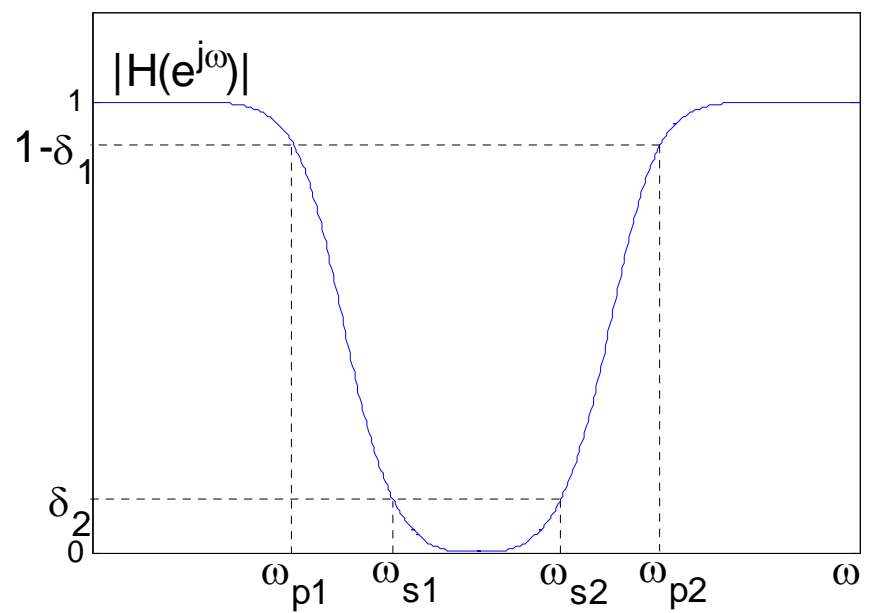
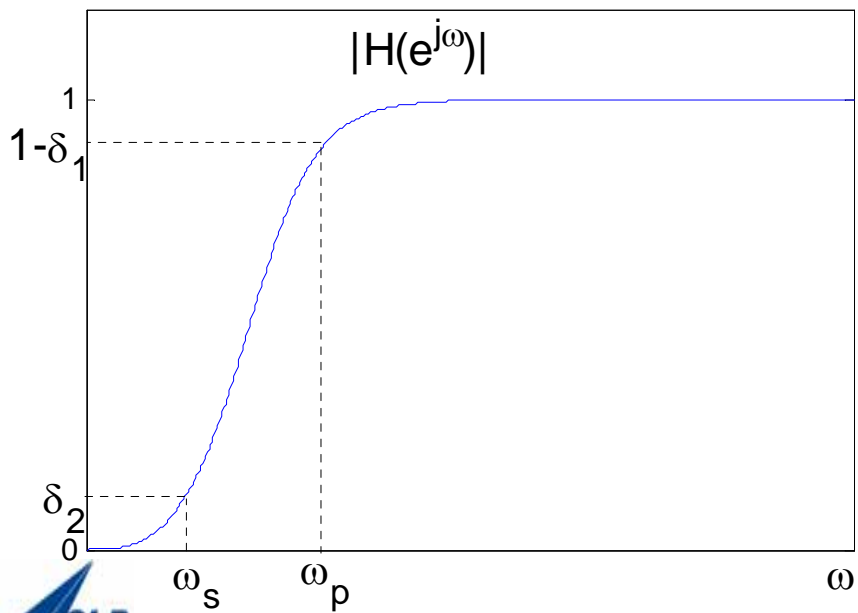
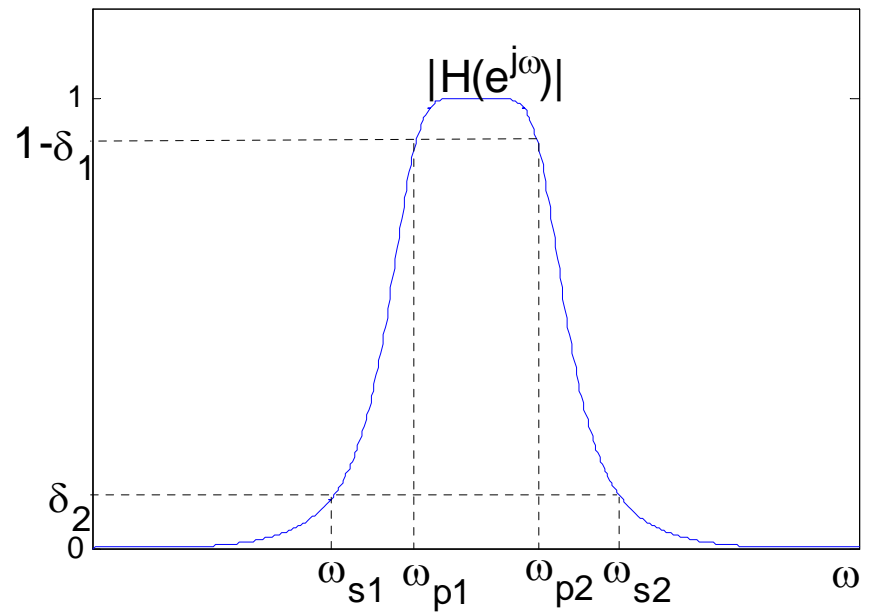
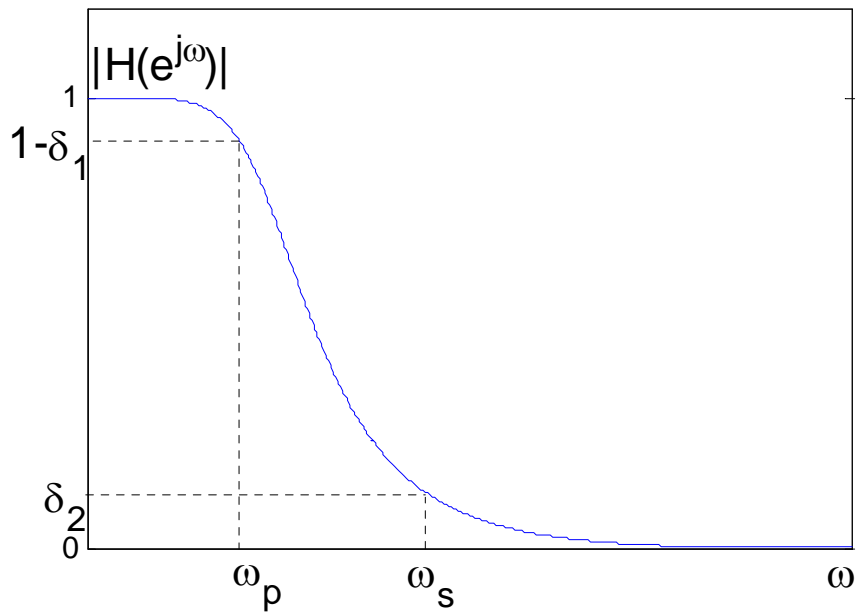
如  $|H(e^{j\omega})|$  在  $\omega_p$  处下降为 0.707 则  $a_p = 3dB$ ，在  $\omega_s$  处下降为 0.01 则  $a_s = 40dB$



# 1. 滤波器的基本概念

## ■ 滤波器的技术要求

- 理想滤波器频响有突变，导致物理不可实现
- 在突变附近设置一个过渡带，在通带和子带内允许有一定的波动误差
- 常用技术指标
  - 通带允许的最大衰减
  - 阻带应达到最小衰减(阻带衰减)
- 其他
  - 滚降：用来反映过渡带的陡峭程度，例如滚降为15dB/oct表示每倍频程衰减15dB，还有用每十倍频程衰减量来描述





# 1. 滤波器的基本设计步骤

- 不论是IIR还是FIR数字滤波器
  - 给出所需要滤波器的技术指标
  - 设计一个 $H(z)$ 使其逼近所需要的技术指标
  - 实现所设计的 $H(z)$
- IIR数字滤波器(借助成熟的AF设计方法)
  - 将DF指标转换成AF指标
  - 设计模拟低通滤波器原型 $G(s)$
  - 将 $G(s)$ 转换成 $H(z)$
  - \*如果不是低通，还需要将其他类型滤波器指标转换成低通指标，最后再将低通原型 $G(s)$ 转换成所需的 $H(z)$



## 第四部分(I)

# 无限冲激响应数字滤波器设计

- 1. 滤波器的基本概念
- 2. 模拟低通滤波器设计
  - 1) 巴特沃思模拟低通滤波器设计
  - 2) 切比雪夫I型模拟低通滤波器设计
- 3. 从模拟低通到其他类型模拟滤波器
- 4. 冲激响应不变法设计IIR数字低通滤波器(DLF)
- 5. 双线性Z变换法设计IIR DLF
- 6. 其他类型数字滤波器设计



## 2. 模拟低通滤波器设计

### ■ 设计问题

给定AF技术指标 $a_p, \Omega_p, a_s, \Omega_s$ , 其中 $a_p$ 为通带最大衰减,  $\Omega_p$ 为通带截止频率,  $a_s$ 为阻带最小衰减,  $\Omega_s$ 为阻带起始频率, 设计低通AF

$$G(s) = \frac{d_0 + d_1s + \cdots + d_{N-1}s^{N-1} + d_Ns^N}{c_0 + c_1s + \cdots + c_{N-1}s^{N-1} + c_Ns^N}$$

使其对数幅频响应 $10\lg|G(s)|^2$  在 $\Omega_p, \Omega_s$ 处分别达到 $a_p, a_s$ 的要求

当 $s = j\Omega$  ( $s$ 平面的虚轴) 时,  $G(s)|_{s=j\Omega} = G(j\Omega) = \frac{Y(j\Omega)}{X(j\Omega)}$

故 $|G(j\Omega)|$ 可以看成是关于 $\Omega$ 的增益函数, 相应的定义一个衰减函数

$$\alpha(j\Omega) = 10\lg \frac{1}{|G(j\Omega)|^2} = -10\lg|G(j\Omega)|^2, \text{ 即 } |G(j\Omega)|^2 = 10^{-\alpha(j\Omega)/10}$$

## 2. 模拟低通滤波器设计

### ■ 设计问题

当  $s = j\Omega$  ( $s$ 平面的虚轴) 时,  $G(s)|_{s=j\Omega} = G(j\Omega) = \frac{Y(j\Omega)}{X(j\Omega)}$

故  $|G(j\Omega)|$  可以看成是关于  $\Omega$  的增益函数, 相应的定义一个衰减函数

$$\alpha(j\Omega) = 10 \lg \frac{1}{|G(j\Omega)|^2} = -10 \lg |G(j\Omega)|^2, \text{ 即 } |G(j\Omega)|^2 = 10^{-\alpha(j\Omega)/10}$$

根据通带最大衰减  $a_p$  和阻带最小衰减  $a_s$  的定义, 有

$$a_p = 10 \lg \frac{1}{|G(j\Omega_p)|^2} = \alpha(j\Omega_p) = -10 \lg |G(j\Omega_p)|^2,$$

$$a_s = 10 \lg \frac{1}{|G(j\Omega_s)|^2} = \alpha(j\Omega_s) = -10 \lg |G(j\Omega_s)|^2,$$

因此滤波器设计的关键是寻找符合  $a_p, \Omega_p, a_s, \Omega_s$  的幅平方函数  $|G(j\Omega)|^2$  问题

因为实际设计的滤波器的冲激响应都是实数, 故根据  $|G(j\Omega)|^2$ , 可以得到

$$G(s)G^*(s) = G(s)G(-s)|_{s=j\Omega} = |G(j\Omega)|^2$$

## 2. 模拟低通滤波器设计

### ■ 已有的模拟低通滤波器原型

- 巴特沃思(Butterworth)滤波器

$$|G(j\Omega)|^2 = \frac{1}{1 + C^2 (\Omega^2)^N}, \quad C \text{ 为待定常数, } N \text{ 为待定的滤波器阶次}$$

- 切比雪夫I型(Chebyshev- I)滤波器

$$|G(j\Omega)|^2 = \frac{1}{1 + \varepsilon^2 C_n^2(\Omega)}, \quad C_n^2(\Omega) = \cos^2(n \arccos \Omega)$$

- 切比雪夫II型(Chebyshev- II)滤波器

$$|G(j\Omega)|^2 = \frac{1}{1 + \varepsilon^2 \left[ C_n^2(\Omega_s) / C_n^2(\Omega_s / \Omega) \right]^2}$$

- 椭圆滤波器

$$|G(j\Omega)|^2 = \frac{1}{1 + \varepsilon^2 U_n^2(\Omega)}, \quad \text{其中 } U_n^2(\Omega) \text{ 是雅可比(Jacobian)椭圆函数}$$

思考滤波器阶数  
或阶次的含义

## 2. 模拟低通滤波器设计

### ■ 低通滤波器原型参数

因为每个滤波器设计参数千差万别，设计原型滤波器需要归一化处理。设所需要的实际频率为 $\Omega$  (或  $f$ )，归一化后的频率为 $\lambda$ ，对低通AF

$$\lambda = \Omega / \Omega_p = f / f_p$$

$$\text{显然 } \lambda_p = 1, \lambda_s = \Omega_s / \Omega_p$$

复数变量  $s$  进行归一化为  $p$ ，因  $s = j\Omega$ ，故

$$p = j\lambda$$

$$\text{显然 } p = j\lambda = j\Omega / \Omega_p = s / \Omega_p$$

记住下面的过程

$$G(s) \Rightarrow G(j\Omega) \Rightarrow G(j\lambda) \Rightarrow G(p)$$

## 第四部分(I)

# 无限冲激响应数字滤波器设计

- 1. 滤波器的基本概念
- 2. 模拟低通滤波器设计
  - 1) 巴特沃思模拟低通滤波器设计
  - 2) 切比雪夫I型模拟低通滤波器设计
- 3. 从模拟低通到其他类型模拟滤波器
- 4. 冲激响应不变法设计IIR数字低通滤波器(DLF)
- 5. 双线性Z变换法设计IIR DLF
- 6. 其他类型数字滤波器设计

# 巴特沃思模拟低通滤波器设计

■ 巴特沃思低通原型  $|G(j\Omega)|^2 = \frac{1}{1 + C^2 (\Omega^2)^N}$

(1) 将实际频率 $\Omega$ 归一化

归一化幅平方特性  $|G(j\lambda)|^2 = \frac{1}{1 + C^2 \lambda^{2N}}$ , 目标是确定 $C$ 和 $N$

(2) 求 $C$ 和 $N$

$$\alpha(j\Omega) = -10 \lg |G(j\Omega)|^2 \Rightarrow \alpha(j\lambda) = -10 \lg |G(j\lambda)|^2$$

$\lambda$ 取 $\lambda_p$  ( $\lambda_p = 1$ )和 $\lambda_s$ 时, 衰减分别为 $a_p$ 和 $a_s$  dB, 于是两个未知数,

两个方程可解, 得

$$C^2 = 10^{a_p/10} - 1$$

$$N = \lg \sqrt{\frac{10^{a_s/10} - 1}{10^{a_p/10} - 1}} / \lg \lambda$$

若令 $a_p = 3\text{dB}$ , 则 $C = 1$

$$\text{常用形式 } |G(j\lambda)|^2 = \frac{1}{1 + \lambda^{2N}}$$

# 巴特沃思模拟低通滤波器设计

(1) 将实际频率 $\Omega$ 归一化

$$a_p = 3dB$$

(2) 求 $C$ 和 $N$

$$C^2 = 10^{a_p/10} - 1$$

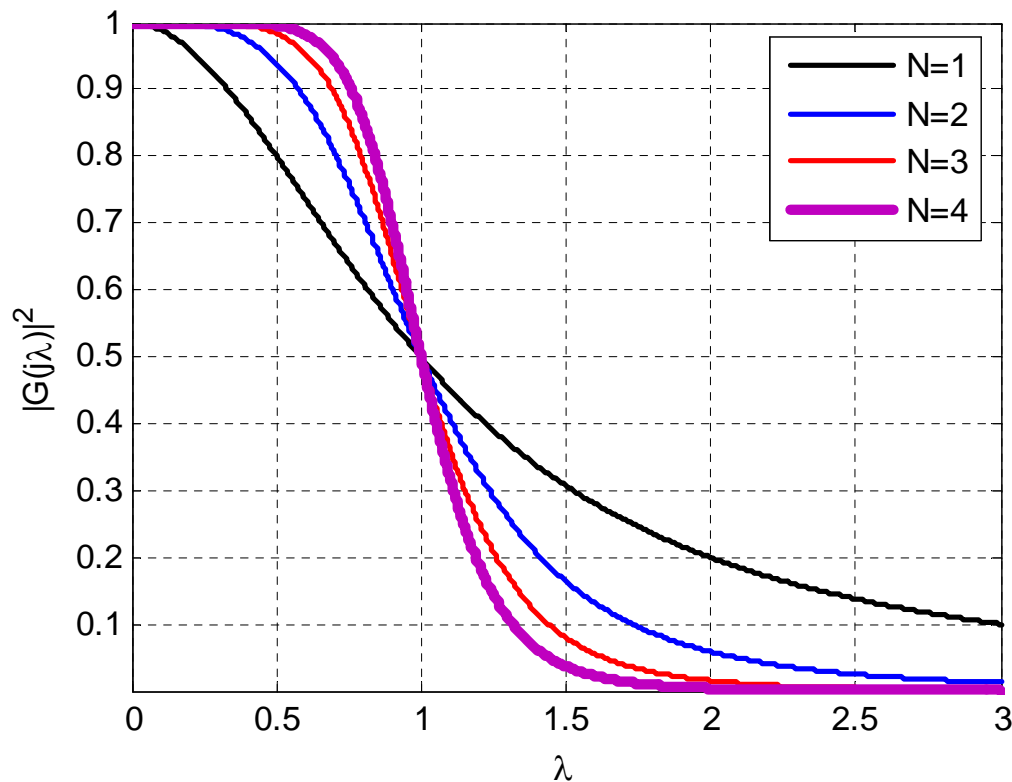
$$N = \lg \sqrt{\frac{10^{a_s/10} - 1}{10^{a_p/10} - 1}} / \lg \lambda_s$$

(3) 确定 $G(s)$

$$|G(j\lambda)|^2 = \frac{1}{1 + C^2 \lambda^{2N}}$$

因为 $p = j\lambda$ , 所以

$$G(p)G(-p) = \frac{1}{1 + \lambda^{2N}} = \frac{1}{1 + (p/j)^{2N}} = \frac{1}{1 + (-1)^N p^{2N}}$$



(这里考虑 $a_p = 3dB$ , 即 $C = 1$ 的典型情况, 其他情况可以相应推出)

# 巴特沃思模拟低通滤波器设计

## (3)确定 $G(s)$

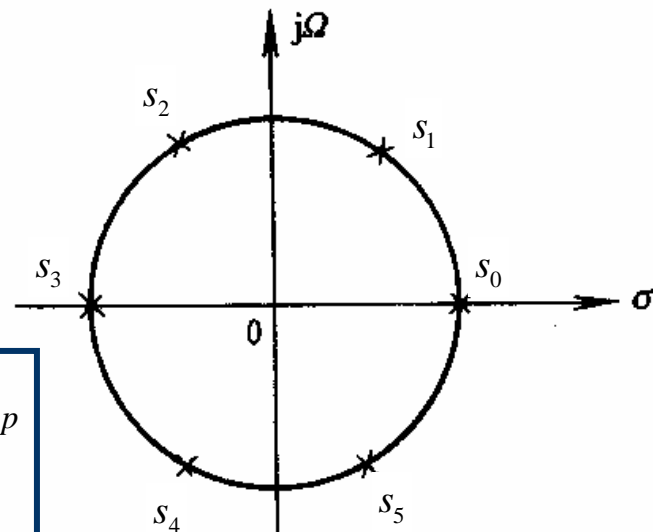
$$G(p)G(-p) = \frac{1}{1 + \lambda^{2N}} = \frac{1}{1 + (p/j)^{2N}} = \frac{1}{1 + (-1)^N p^{2N}}$$

令分母为0，可以求出 $2N$ 个极点 $p_k = \exp\left(j \frac{2k + N - 1}{2N} \pi\right), k = 1, 2, \dots, 2N$

为了保证滤波器的稳定性，必须把 $s$ 域左半平面的极点赋予 $G(p)$

$$\text{即 } \frac{\pi}{2} \leq \frac{2k + N - 1}{2N} \pi \leq \frac{3\pi}{2} \Rightarrow k = 1, 2, \dots, N$$

$$\text{因此 } G(p) = \frac{1}{(p - p_1)(p - p_2) \cdots (p - p_N)}$$



$N=3$ 时极点分布

$$1 + (-1)^N p^{2N} = 0$$

$$p^{2N} = (-1)^{1-N} = (-1)^{N-1}$$

$$= \exp\left[j((N-1)\pi + 2k\pi)\right]$$

$$p_k = \exp\left(j \frac{2k + N - 1}{2N} \pi\right)$$

因为 $p = j\lambda = j\Omega/\Omega_p = s/\Omega_p$

所以可求出 $G(s)$



# 巴特沃思模拟低通滤波器设计

例：设计模拟低通巴特沃思滤波器，截止频率 $f_p = 5000\text{Hz}$ ，通带最大衰减 $a_p = 3\text{dB}$

阻带起始频率 $f_s = 10000\text{Hz}$ ，阻带最小衰减 $a_s = 30\text{dB}$

解：求归一化频率 $\Omega_p = 2\pi f_p$ ， $\lambda_p = 1$ ， $\lambda_s = 10000/5000 = 2$

因为 $a_p = 3\text{dB}$ ，所以 $C = 1$ ，

$$N = \lg \sqrt{\frac{10^{a_s/10} - 1}{10^{a_p/10} - 1}} / \lg \lambda_s = 4.982 \approx 5$$

$$p_k = \exp\left(j \frac{2k + N - 1}{2N} \pi\right) = p_k = \exp\left(j \frac{k + 2}{5} \pi\right), k = 1, 2, \dots, 5$$

$$\text{可求出 } G(p) = \frac{1}{(p+1)(p^2 + 0.618p + 1)(p^2 + 1.618p + 1)}$$

$$\text{故 } G(s) = G(p) \Big|_{p=s/\Omega_p} = \frac{10^{20} \pi^5}{(s + 10^4 \pi)(s^2 + 0.618\pi \times 10^4 s + 10^8 \pi^2)(s^2 + 1.618\pi \times 10^4 s + 10^8 \pi^2)}$$



# 巴特沃思模拟低通滤波器设计

## 巴特沃斯归一化低通滤波器参数

极点位置 阶数 $N$	$P_{0,N-1}$	$P_{1,N-2}$	$P_{2,N-3}$	$P_{3,N-4}$	$P_4$
1	-1.0000				
2	$-0.7071 \pm j0.7071$				
3	$-0.5000 \pm j0.8660$	-1.0000			
4	$-0.3827 \pm j0.9239$	$-0.9239 \pm j0.3827$			
5	$-0.3090 \pm j0.9511$	$-0.8090 \pm j0.5878$	-1.0000		
6	$-0.2588 \pm j0.9659$	$-0.7071 \pm j0.7071$	$-0.9659 \pm j0.2588$		
7	$-0.2225 \pm j0.9749$	$-0.6235 \pm j0.7818$	$-0.9010 \pm j0.4339$	-1.0000	
8	$0.1951 \pm j0.9808$	$0.5556 \pm j0.8315$	$-0.8315 \pm j0.5556$	$-0.9808 \pm j0.1951$	
9	$-0.1736 \pm j0.9848$	$-0.5000 \pm j0.8660$	$-0.7660 \pm j0.6428$	$-0.9397 \pm j0.3420$	-1.0000

# 巴特沃思模拟低通滤波器设计

## 巴特沃斯归一化低通滤波器参数

分母多项式 系数阶数 $N$	$B(p) = p^N + b_{N-1}p^{N-1} + b_{N-2}p^{N-2} + \dots + b_1p + b_0$									
	$b_0$	$b_1$	$b_2$	$b_3$	$b_4$	$b_5$	$b_6$	$b_7$	$b_8$	$b_9$
1	1.0000									
2	1.0000	1.4142								
3	1.0000	2.0000	2.0000							
4	1.0000	2.6131	3.4142	2.613						
5	1.0000	3.2361	5.2361	5.2361	3.2361					
6	1.0000	3.8637	7.4641	9.1416	7.4641	3.8637				
7	1.0000	4.4940	10.0978	14.5918	14.5918	10.0978	4.4940			
8	1.0000	5.1258	13.1371	21.8462	25.6884	21.8642	13.1371	5.1258		
9	1.0000	5.7588	16.5817	31.1634	41.9864	41.9864	31.1634	16.5817	5.7588	

## 第四部分(I)

# 无限冲激响应数字滤波器设计

- 1. 滤波器的基本概念
- 2. 模拟低通滤波器设计
  - 1) 巴特沃思模拟低通滤波器设计
  - 2) 切比雪夫I型模拟低通滤波器设计
- 3. 从模拟低通到其他类型模拟滤波器
- 4. 冲激响应不变法设计IIR数字低通滤波器(DLF)
- 5. 双线性Z变换法设计IIR DLF
- 6. 其他类型数字滤波器设计

# 切比雪夫I型模拟低通滤波器设计

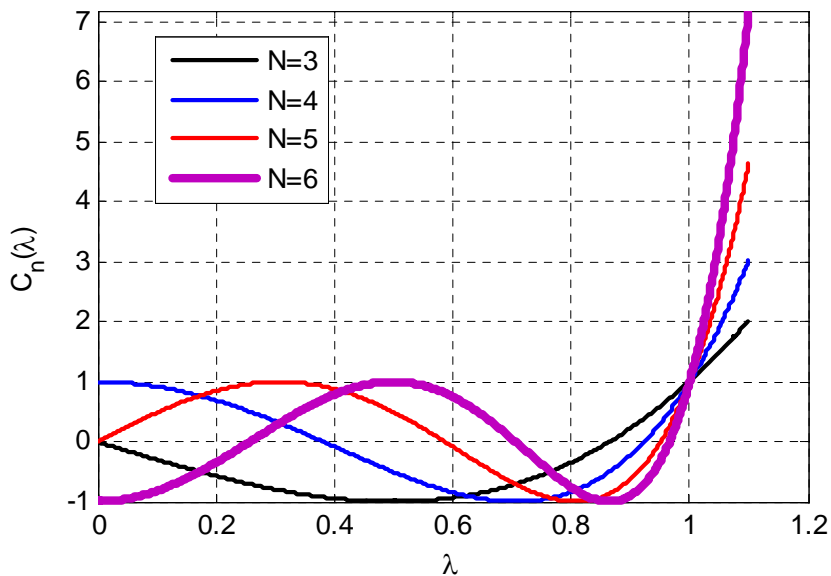
## ■ 切比雪夫I型低通原型

$$|G(j\Omega)|^2 = \frac{1}{1 + \varepsilon^2 C_n^2(\Omega)}, \quad C_n(\Omega) = \cos(n \arccos \Omega), \quad |\Omega| \leq 1$$

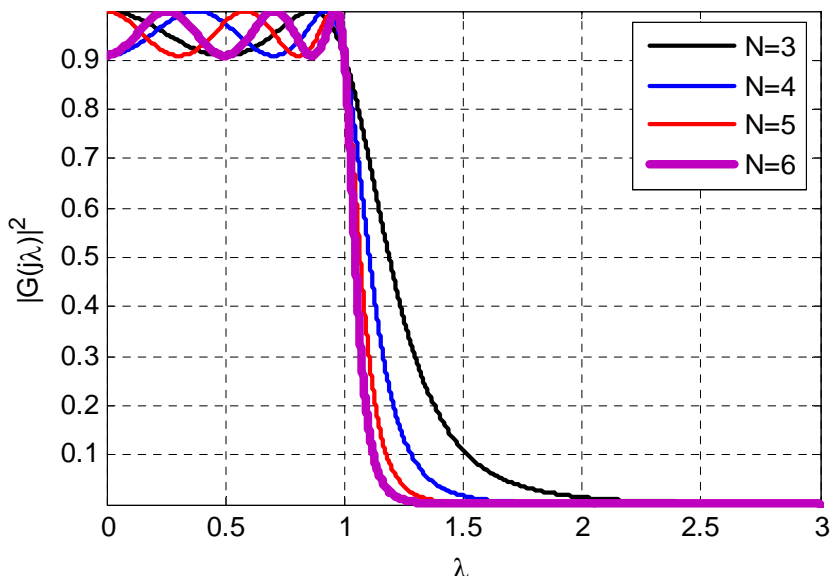
$$C_n(\Omega) = \cosh(n \operatorname{ar} \cosh \Omega), \quad |\Omega| > 1$$

双曲余弦

$$\cosh(x) = \frac{e^x + e^{-x}}{2}$$



切比雪夫多项式



切比雪夫滤波器

# 切比雪夫I型模拟低通滤波器设计

## ■ 切比雪夫I型低通原型

$$|G(j\Omega)|^2 = \frac{1}{1 + \varepsilon^2 C_n^2(\Omega)}, \quad C_n(\Omega) = \cos(n \arccos \Omega), \quad |\Omega| \leq 1$$

$$C_n(\Omega) = \cosh(n \operatorname{ar} \cosh \Omega), \quad |\Omega| > 1$$

切比雪夫多项式 $C_n(\Omega)$ 的特点：

$$C_{n+1}(\Omega) = 2C_n(\Omega)\Omega - C_{n-1}(\Omega); \quad C_n(\Omega) = 2C_{n-1}(\Omega)\Omega - C_{n-2}(\Omega)$$

令 $n = 0, 1, \dots, 4$ , 有

$$C_0(\Omega) = \cos 0 = 1$$

$$C_1(\Omega) = \cos(\arccos \Omega) = \Omega$$

$$C_2(\Omega) = 2C_1(\Omega)\Omega - C_0(\Omega) = 2\Omega^2 - 1$$

$$C_3(\Omega) = 2C_2(\Omega)\Omega - C_1(\Omega) = 4\Omega^3 - 3\Omega$$

$$C_4(\Omega) = 2C_3(\Omega)\Omega - C_2(\Omega) = 8\Omega^4 - 8\Omega^2 + 1$$

⋮

# 切比雪夫I型模拟低通滤波器设计

## ■ 切比雪夫I型低通原型

$$|G(j\Omega)|^2 = \frac{1}{1 + \varepsilon^2 C_n^2(\Omega)}, \quad C_n(\Omega) = \cos(n \arccos \Omega), |\Omega| \leq 1$$

$$C_n(\Omega) = \cosh(n \operatorname{ar} \cosh \Omega), |\Omega| > 1$$

切比雪夫多项式 $C_n(\Omega)$ 的特点：

$$C_{n+1}(\Omega) = 2C_n(\Omega)\Omega - C_{n-1}(\Omega); \quad C_n(\Omega) = 2C_{n-1}(\Omega)\Omega - C_{n-2}(\Omega)$$

令 $n = 0, 1, \dots, 4$ , 有

$$C_0(\Omega) = \cos 0 = 1$$

$$C_1(\Omega) = \cos(\arccos \Omega) = \Omega$$

$$C_2(\Omega) = 2C_1(\Omega)\Omega - C_0(\Omega) = 2\Omega^2 - 1$$

$$C_3(\Omega) = 2C_2(\Omega)\Omega - C_1(\Omega) = 4\Omega^3 - 3\Omega$$

$$C_4(\Omega) = 2C_3(\Omega)\Omega - C_2(\Omega) = 8\Omega^4 - 8\Omega^2 + 1$$

⋮

注意最高次幂之前的  
系数规律！！

# 切比雪夫I型模拟低通滤波器设计

## ■ 切比雪夫I型低通原型

$$|G(j\Omega)|^2 = \frac{1}{1 + \varepsilon^2 C_n^2(\Omega)}$$

(1) 将实际频率 $\Omega$ 归一化

归一化幅平方特性  $|G(j\lambda)|^2 = \frac{1}{1 + \varepsilon^2 C_n^2(\lambda)}$ , 目标是确定 $\varepsilon$ 和 $N$

(2) 求 $\varepsilon$ 和 $N$

与巴特沃思滤波器类似, 由于 $C_n^2(1) = 1$ , 可得

$$\varepsilon^2 = 10^{a_p/10} - 1;$$

$$n = \frac{\operatorname{arcosh} a}{\operatorname{arcosh} \lambda_s}, \text{ 其中 } a^2 = \frac{10^{a_s/10} - 1}{10^{a_p/10} - 1}$$

$$\operatorname{arcosh}(x) = \lg \left[ x + (x^2 - 1)^{1/2} \right]$$

(3) 确定 $G(s)$  因为 $p = j\lambda$ , 所以

$$G(p)G(-p) = \frac{1}{1 + \varepsilon^2 C_n^2(p/j)}$$

求 $1 + \varepsilon^2 C_n^2(p/j)$ 的根 $p_k$ ,  
然后将左半平面的根赋给 $G(p)$



# 切比雪夫I型模拟低通滤波器设计

(1) 将实际频率 $\Omega$ 归一化

(2) 求 $\varepsilon$ 和 $N$

(3) 确定 $G(s)$

因为 $p = j\lambda$ , 所以

$$G(p)G(-p) = \frac{1}{1 + \varepsilon^2 C_n^2(p/j)}$$

求 $1 + \varepsilon^2 C_n^2(p/j)$ 的根 $p_k$ ,  
然后将左半平面的根赋给 $G(p)$

如果令 $p_k = \sigma_k + j\lambda_k$ , 可以证明

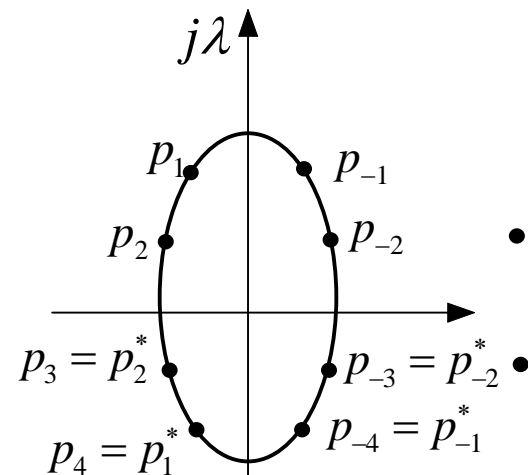
$$\left(\frac{\sigma_k}{\sinh \varphi_2}\right)^2 + \left(\frac{\lambda_k}{\cosh \varphi_2}\right)^2 = 1, \text{ 其中 } \varphi_2 = \frac{1}{n} \operatorname{arsinh}\left(\frac{1}{\varepsilon}\right)$$

说明极点实部和虚部满足椭圆方程, 即

$p_k$ 落在椭圆上

$$p_k = -\sin\left(\frac{2k-1}{2n}\pi\right) \sinh \varphi_2 + j \cos\left(\frac{2k-1}{2n}\pi\right) \cosh \varphi_2$$

$k = 1, 2, \dots, n$



观察系数

$$G(p) = \frac{1}{\varepsilon \times 2^{n-1} \prod_{k=1}^n (p - p_k)}$$



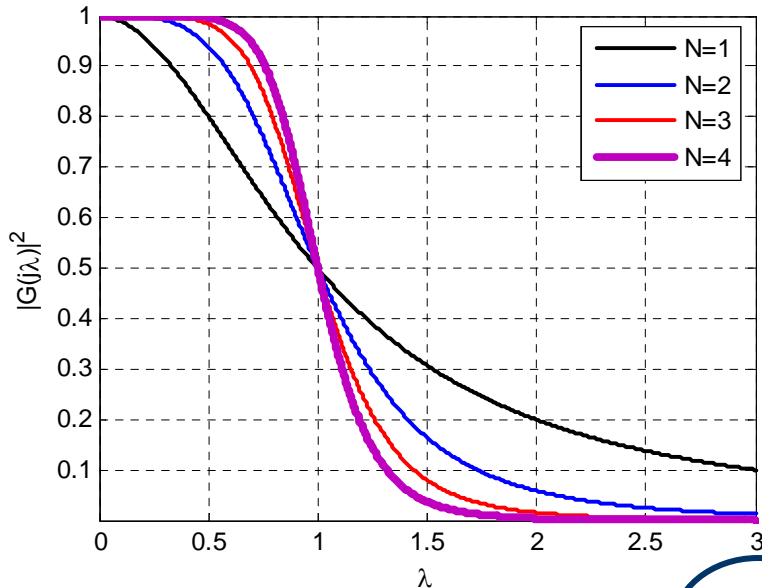
# 切比雪夫I型模拟低通滤波器设计

(3)确定 $G(s)$

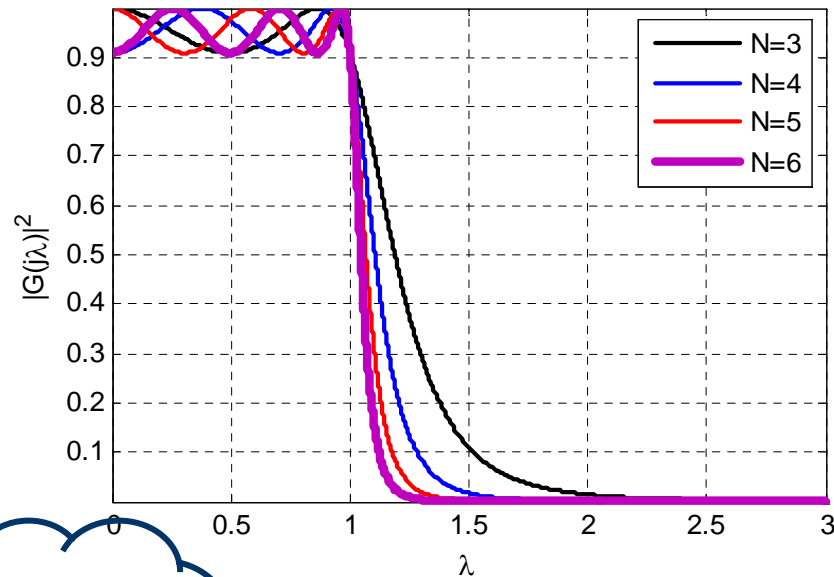
实际的转移函数为

$$G(p) = \frac{1}{\varepsilon \times 2^{n-1} \prod_{k=1}^n (p - p_k)}$$

$$G(s) = G(p) \Big|_{p = \frac{s}{\Omega_p}} = \frac{\Omega_p^n}{\varepsilon \times 2^{n-1} \prod_{k=1}^n (s - p_k \Omega_p)}$$



巴特沃思滤波器



切比雪夫滤波器

比较通、阻带特性（单调、波纹）、过渡带



# 切比雪夫I型模拟低通滤波器设计

例：设计模拟低通切比雪夫I型滤波器，通带最高频率 $f_p = 3\text{MHz}$ ，通带衰减小于 $0.1\text{dB}$   
阻带起始频率 $f_s = 12\text{MHz}$ ，阻带衰减大于 $60\text{dB}$

解：求归一化频率 $\Omega_p = 2\pi f_p$ ， $\lambda_p = 1$ ， $\lambda_s = 12/3 = 4$

求滤波器阶数 $n$ 和常数 $\varepsilon$ ， $\varepsilon^2 = 10^{a_p/10} - 1 \Rightarrow \varepsilon = 0.15262$

$$n = \frac{\text{arcosh } a}{\text{arcosh } \lambda_s} = 4.6 \approx 5, \quad \left( \text{其中 } a^2 = \frac{10^{a_s/10} - 1}{10^{a_p/10} - 1} \right)$$

求极点

$$p_k = -\sin\left(\frac{2k-1}{2n}\pi\right)\sinh\varphi_2 + j\cos\left(\frac{2k-1}{2n}\pi\right)\cosh\varphi_2, \quad k = 1, 2, \dots, 5. \quad \text{其中 } \varphi_2 = \frac{1}{n}\text{arsinh}\left(\frac{1}{\varepsilon}\right)$$

$$\text{可求出 } G(p) = \frac{1}{2^4 \varepsilon (p + 0.5389)(p^2 + 0.3331p + 1.1949)(p^2 + 0.87198p + 0.63592)}$$

$$\text{故 } G(s) = G(p) \Big|_{p=s/\Omega_p} = \frac{0.974852 \times 10^{36}}{(s + 1.01580 \times 10^7)(s^2 + 6.27879 \times 10^6 s + 4.2459 \times 10^{14})} \\ \times \frac{1}{(s^2 + 1.64368 \times 10^7 s + 2.25946 \times 10^{14})}$$

# 切比雪夫I型模拟低通滤波器设计

例：设计模拟低通切比雪夫I型滤波器，通带最高频率 $f_p = 3\text{MHz}$ ，通带衰减小于 $0.1\text{dB}$   
阻带起始频率 $f_s = 12\text{MHz}$ ，阻带衰减大于 $60\text{dB}$

解：求归一化频率 $\Omega_p = 2\pi f_p$ ， $\lambda_p = 1$ ， $\lambda_s = 12/3 = 4$

求滤波器阶数 $n$ 和常数 $\varepsilon$ ， $\varepsilon^2 = 10^{a_p/10} - 1 \Rightarrow \varepsilon = 0.15262$

$$n = \frac{\operatorname{arcosh} a}{\operatorname{arcosh} \lambda_s} = 4.6 \approx 5, \quad \left( \text{其中 } a^2 = \frac{10^{a_s/10} - 1}{10^{a_p/10} - 1} \right)$$

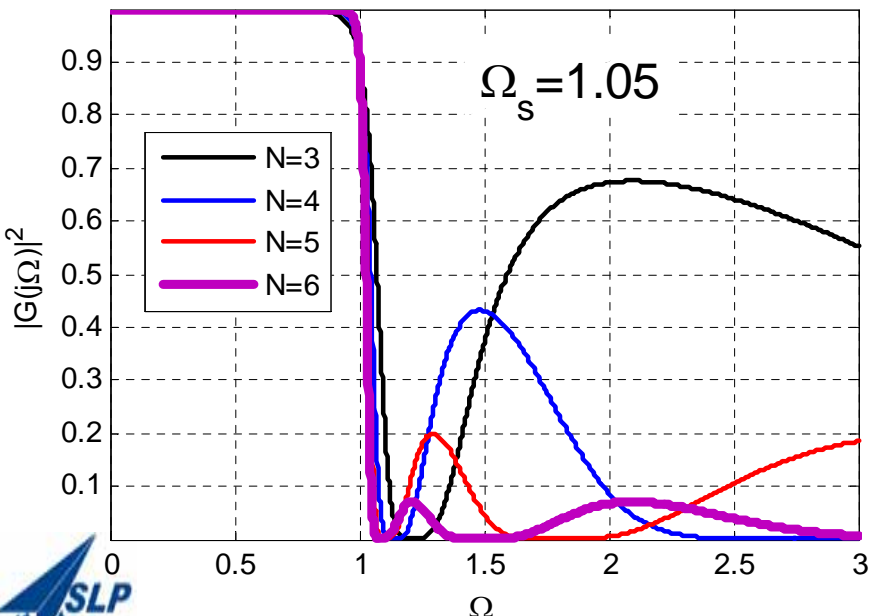
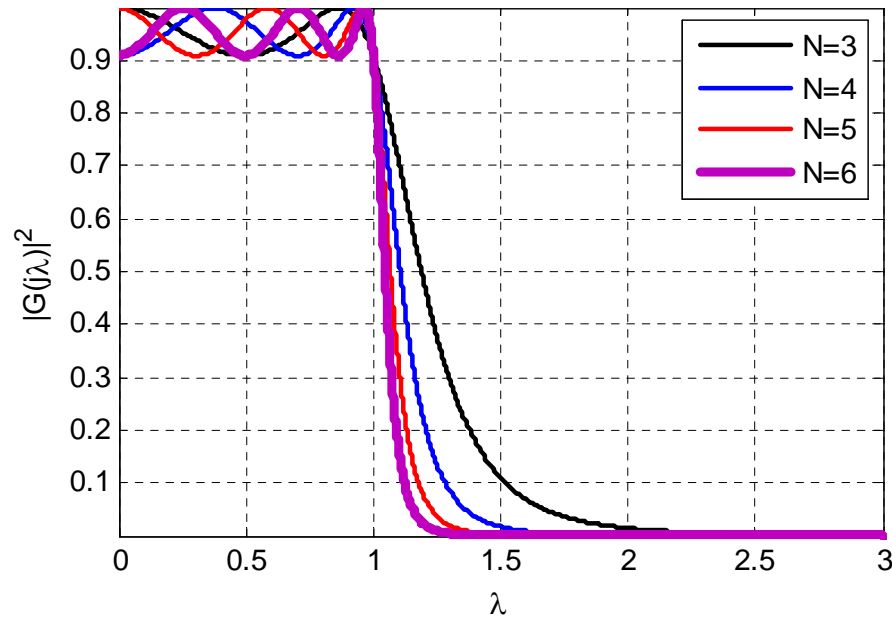
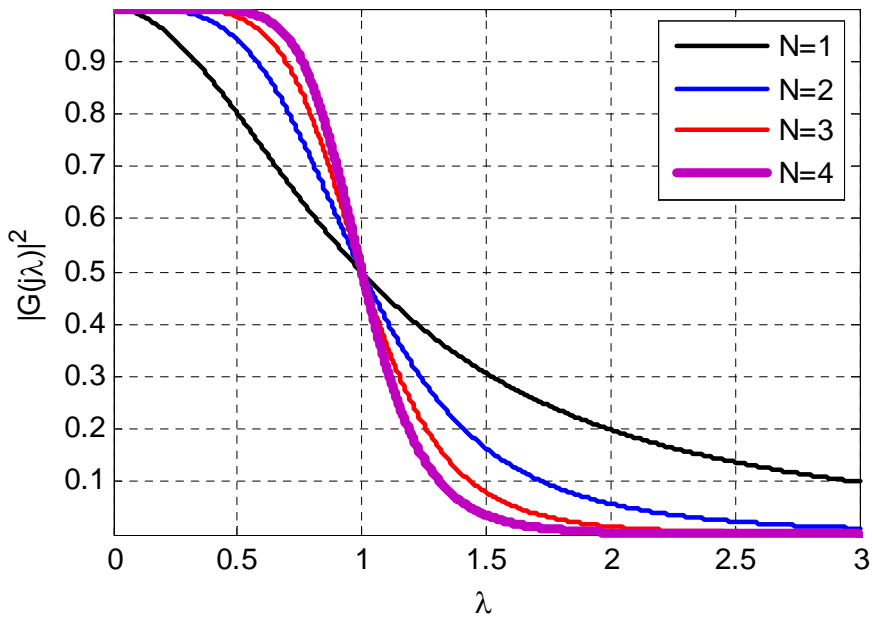
求极点

$$p_k = -\sin\left(\frac{2k-1}{2n}\pi\right)\sinh\varphi_2 + j\cos\left(\frac{2k-1}{2n}\pi\right)\cosh\varphi_2, \quad k = 1, 2, \dots, 5. \quad \text{其中 } \varphi_2 = \frac{1}{n}\operatorname{arsinh}\left(\frac{1}{\varepsilon}\right)$$

$$\text{可求出 } G(p) = \frac{1}{2^4 \varepsilon (p + 0.5389)(p^2 + 0.3331p + 1.1949)(p^2 + 0.87198p + 0.63592)}$$

$$\text{故 } G(s) = G(p) \Big|_{p=s/\Omega_p} = \frac{0.974852 \times 10^{36}}{(s + 1.01580 \times 10^7)(s^2 + 6.27879 \times 10^6 s + 4.2459 \times 10^{14})} \\ \times \frac{1}{(s^2 + 1.64368 \times 10^7 s + 2.25946 \times 10^{14})}$$

实际如何计算？计算误差会有什么影响？



# 模拟低通

巴特沃思  
滤波器

切比雪夫I  
型滤波器

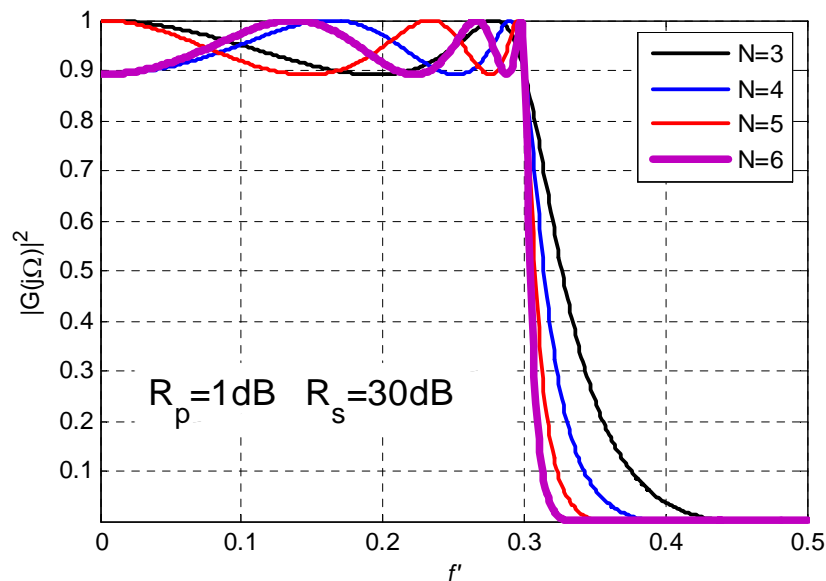
切比雪夫II  
型滤波器



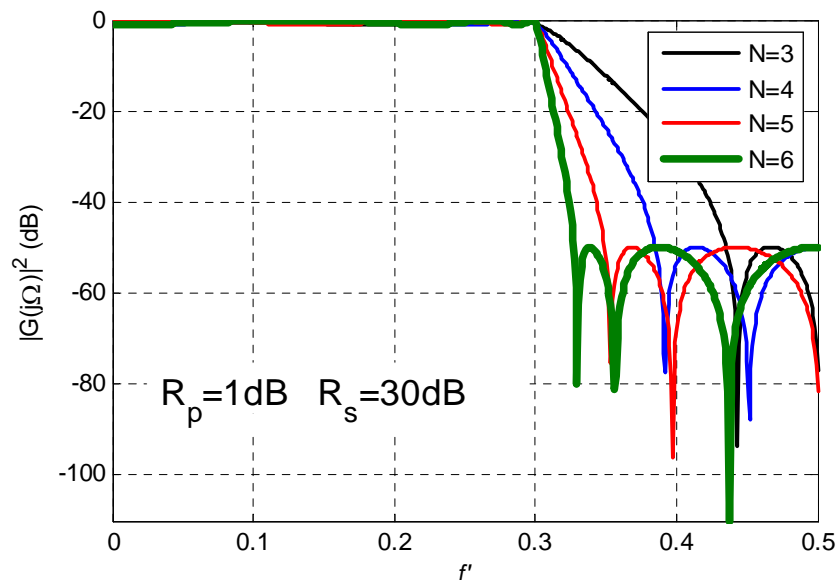


## 椭圆(考尔)滤波器

### 幅平方响应



### 幅平方响应 (dB)



## 结论：

巴特沃思滤波器在通阻带都是单调下降；切比雪夫I型滤波器在通带内呈等波纹振荡，在阻带内单调下降；切比雪夫II型滤波器在阻带内呈等波纹振荡，在通带内单调下降；椭圆滤波器在通阻带内都可以实现等波纹振荡，且有最窄的过渡带

经典滤波器都有表格和曲线可以查询，还有大量成熟的工具辅助设计

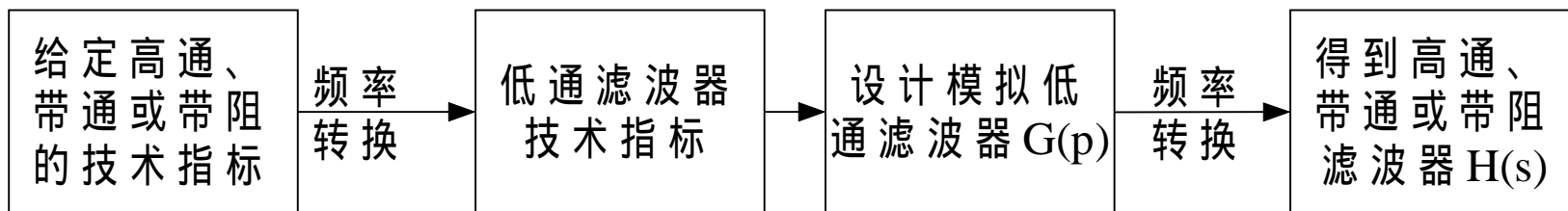
## 第四部分(I)

# 无限冲激响应数字滤波器设计

- 1. 滤波器的基本概念
- 2. 模拟低通滤波器设计
  - 1) 巴特沃思模拟低通滤波器设计
  - 2) 切比雪夫I型模拟低通滤波器设计
- 3. 从模拟低通到其他类型模拟滤波器
- 4. 冲激响应不变法设计IIR数字低通滤波器(DLF)
- 5. 双线性Z变换法设计IIR DLF
- 6. 其他类型数字滤波器设计

# 3. 从模拟低通到其他类型模拟滤波器

- 模拟低通已有完整的公式及图表
- 高通、带通、带阻等模拟滤波器应尽量利用这些资源，无须再各搞一套公式和图表
  - 一般过程



## 符号标记说明

关键在于频率转换关系  
即 $\lambda$ 和 $\eta$ 之间的转换关系

$$\lambda = f(\eta)$$

模拟低通原型滤波器：

$G(s), G(j\Omega)$ , 归一化频率为 $\lambda$ , 归一化复频率 $p = j\lambda$   
归一化转移函数 $G(p)$ , 归一化频率特性 $G(j\lambda)$

其他模拟滤波器：

$H(s), H(j\Omega)$ , 归一化频率为 $\eta$ , 归一化复频率 $q = j\eta$   
归一化转移函数 $H(q)$ , 归一化频率特性 $H(j\eta)$





# 1) 模拟高通滤波器设计

## ■ 频率变换关系

$$\lambda\eta = \pm 1 \text{ (通常取 } -1 \text{)}$$

于是  $q = j\eta = \frac{1}{j\lambda} = \frac{1}{p}$ ,  $\eta$  是归一化频率, 故  $j\eta = j \frac{\Omega}{\Omega_p} = \frac{s}{\Omega_p}$

所以求出模拟低通  $G(p)$  之后, 模拟高通  $H(s) = G(p) \Big|_{p=\Omega_p/s}$

例: 设计巴特沃思高通, 要求  $f_p = 100\text{Hz}$ ,  $a_p = 3\text{dB}$ ,  $f_s = 50\text{Hz}$ ,  $a_s = 30\text{dB}$

解: 先将频率归一化, 得  $\eta_p = 1$ ,  $\eta_s = 0.5$ , 频率变换得  $\lambda_p = 1$ ,  $\lambda_s = 2$

设计模拟低通, 得到  $G(p)$

令  $p = \Omega_p/s = 2\pi f_p/s$  代入  $G(p)$ , 即可求得转移函数  $H(s)$

## 2) 模拟带通滤波器设计

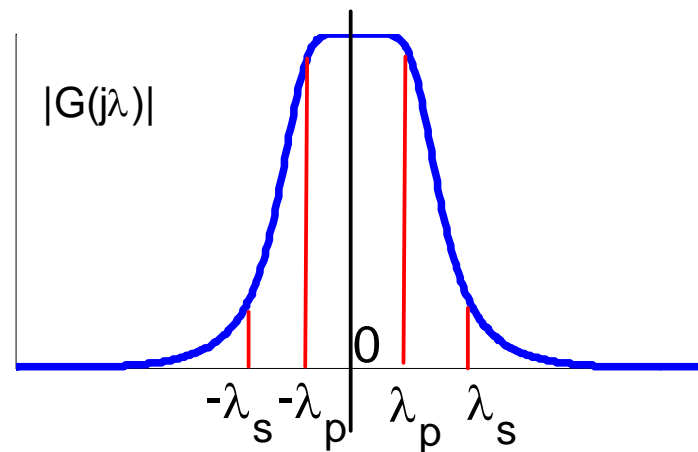
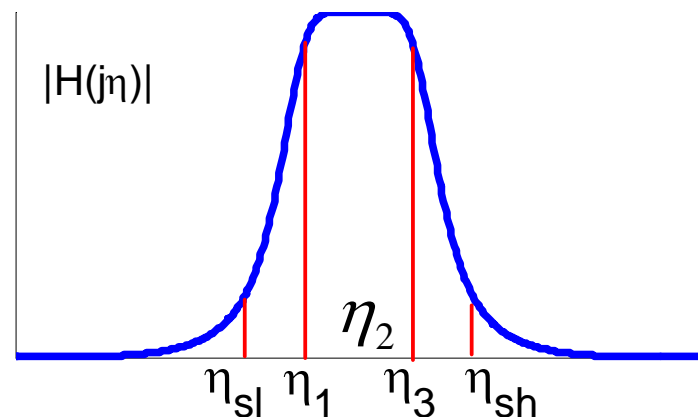
### ■ 频率变换关系

$$\eta = \frac{\Omega}{\Omega_{BW}}$$

$\Omega_{BW}$  为通带宽度,  $\Omega_{BW} = \Omega_3 - \Omega_1$

$$\eta_2^2 = \eta_1 \eta_3$$

$$\lambda = \frac{\eta^2 - \eta_2^2}{\eta} \quad \left. \begin{array}{l} H(s) = G(p) \\ p = \frac{s^2 + \Omega_1 \Omega_3}{s(\Omega_3 - \Omega_1)} \end{array} \right\}$$

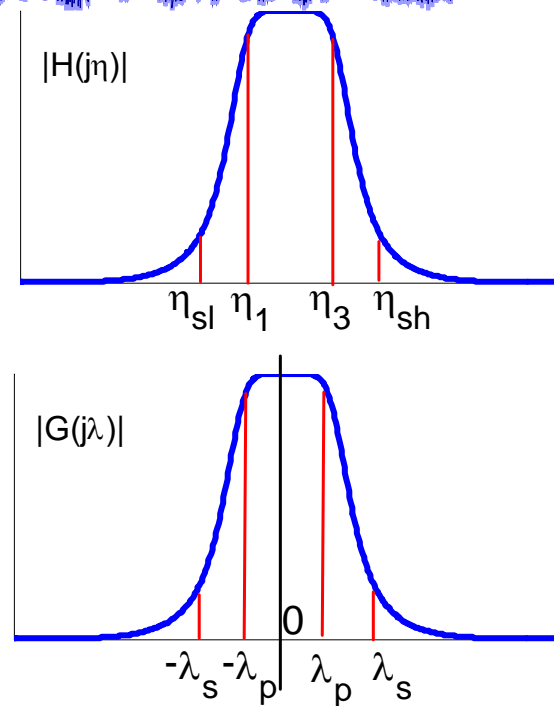


## 2) 模拟带通滤波器设计

### ■ 频率变换关系

$$\eta = \frac{\Omega}{\Omega_{BW}}, \Omega_{BW} \text{ 为通带宽度}, \eta_2^2 = \eta_1 \eta_3$$

$$\lambda = \frac{\eta^2 - \eta_2^2}{\eta} \quad H(s) = G(p) \quad \left| \quad p = \frac{s^2 + \Omega_1 \Omega_3}{s(\Omega_3 - \Omega_1)} \right.$$



例：带宽200Hz,中心频率1000Hz,通带衰减小于3dB,阻带截止频率830Hz,1200Hz  
阻带衰减不小于25dB

$$\text{解：} \Omega_{BW} = 2\pi \times 200, \Omega_2 = 2\pi \times 1000, \Omega_{sl} = 2\pi \times 830, \Omega_{sh} = 2\pi \times 1200$$

$$\text{归一化后 } \eta_{BW} = 1, \eta_2^2 = 25, \eta_{sl} = 4.15, \eta_{sh} = 6$$

$$\text{由 } \eta_3 - \eta_1 = 1, \eta_1 \eta_3 = \eta_2^2 \text{ 可求得 } \eta_1 = 4.525, \eta_3 = 5.525$$

$$\text{根据频率转换关系可以得到 } \lambda_p = 1, \lambda_s = 1.833$$

$$\text{设计低通 } G(p), \text{ 将 } p = \frac{s^2 + \Omega_1 \Omega_3}{s(\Omega_3 - \Omega_1)} \text{ 代入得到 } H(s)$$

# 3) 模拟带阻滤波器设计

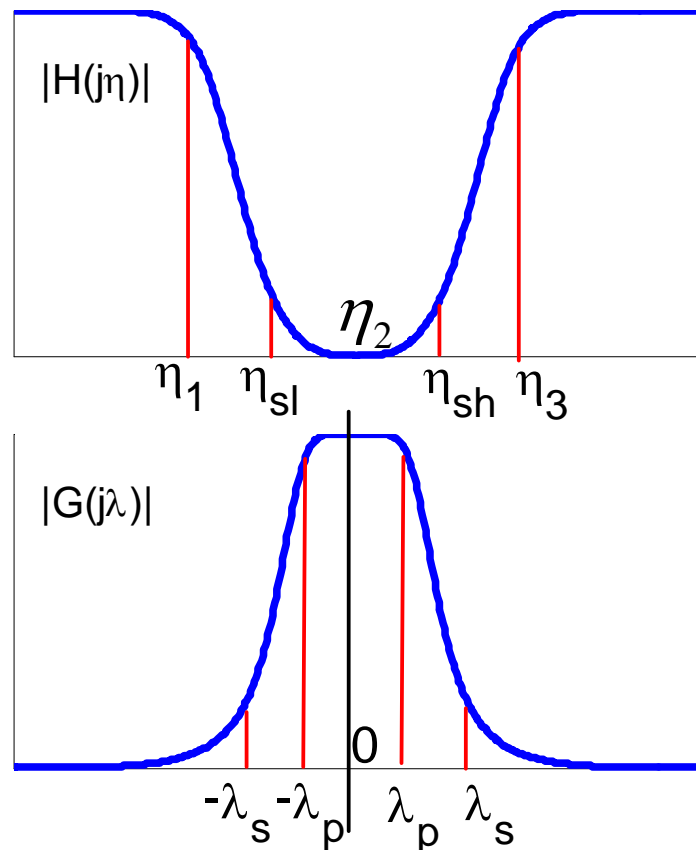
## ■ 频率转换关系（与带通类似）

$$\eta = \frac{\Omega}{\Omega_{BW}}$$

$\Omega_{BW}$  为通带宽度,  $\Omega_{BW} = \Omega_3 - \Omega_1$

$$\eta_2^2 = \eta_1 \eta_3$$

$$\lambda = \frac{\eta}{\eta^2 - \eta_2^2} \quad H(s) = G(p) \quad \left| \quad p = \frac{s(\Omega_3 - \Omega_1)}{s^2 + \Omega_1 \Omega_3} \right.$$



## 第四部分(I)

# 无限冲激响应数字滤波器设计

- 1. 滤波器的基本概念
- 2. 模拟低通滤波器设计
  - 1) 巴特沃思模拟低通滤波器设计
  - 2) 切比雪夫I型模拟低通滤波器设计
- 3. 从模拟低通到其他类型模拟滤波器
- 4. 冲激响应不变法设计IIR数字低通滤波器(DLF)
- 5. 双线性Z变换法设计IIR DLF
- 6. 其他类型数字滤波器设计





## 4. 冲激响应不变法设计IIR数字低通滤波器(DLF)

- 现在我们已经能够设计模拟滤波器的设计方法
- 解决数字滤波器设计需要
  - 数字滤波器指标转化为模拟滤波器指标
  - S域和Z域的映射方法
  - 得到 $H(z)$ 的分子分母必须是Z的有理式
- 冲激响应不变法的思路
  - 用时域抽样，即认为 $h(n)$ 是 $h(t)$ 的抽样，从而使得 $H(e^{j\omega})$ 逼近 $H(j\Omega)$

回忆抽样对频谱产生的影响





## 4. 冲激响应不变法设计IIR数字低通滤波器(DLF)

- 模拟系统 $G(s)$ 总可以分解为一阶和二阶系统的并联或级联(实系数)

一阶系统 $G(s) = A/(s + a)$ , 则 $g(t) = Ae^{-at}$ , 对其抽样得到 $h(nT_s) = Ae^{-anT_s}$ , 因此

$$H(z) = A/(1 - e^{-aT_s} z^{-1})$$

二阶系统 $G(s) = \beta/((s - \alpha)^2 + \beta^2)$ , 则 $g(t) = e^{\alpha t} \sin(\beta t)u(t)$

$$H(z) = \frac{ze^{\alpha T_s} \sin(\beta T_s)}{z^2 - z[2e^{\alpha T_s} \cos(\beta T_s)] + e^{2\alpha T_s}}$$

根据上面两个结果, 可以把 $G(s)$ 转换成 $H(z)$

问题是时域抽样导致频域周期延拓, 即 $H(e^{j\omega})$ 是 $G(j\Omega)$ 的周期延拓, 可能混叠



## 4. 冲激响应不变法设计IIR数字低通滤波器(DLF)

- 模拟系统 $G(s)$ 总可以分解为一阶和二阶系统的并联或级联(实系数)

问题是时域抽样导致频域周期延拓，  
即 $H(e^{j\omega})$ 是 $G(j\Omega)$ 的周期延拓，可能混叠

如果 $G(j\Omega)$ 不是带限的，或抽样频率不够高，会发生混叠  
这是冲激响应法的严重缺点，例如高通、带阻滤波器都不是带限的，无法使用冲激响应不变法

优点是保持了模拟频率和数字频率之间的线性关系，从  $\Omega$  到  $\omega$



## 第四部分(I)

# 无限冲激响应数字滤波器设计

- 1. 滤波器的基本概念
- 2. 模拟低通滤波器设计
  - 1) 巴特沃思模拟低通滤波器设计
  - 2) 切比雪夫I型模拟低通滤波器设计
- 3. 从模拟低通到其他类型模拟滤波器
- 4. 冲激响应不变法设计IIR数字低通滤波器(DLF)
- 5. 双线性Z变换法设计IIR DLF
- 6. 其他类型数字滤波器设计

# 5. 双线性Z变换法设计IIR DLF

## ■ 冲激响应不变法频域混叠的原因

s域的虚轴 $j\Omega$ 映射到z平面以 $2\pi$ 为周期的单位圆上  
即 $j\Omega$ 轴上每间隔 $2\pi/T_s$ , 便映射到单位圆一周

## ■ 为避免混叠

- 1) s平面的 $j\Omega$ 轴只映射为z平面的单位圆一周
- 2) 若 $G(s)$ 是稳定的, 则相应的 $H(z)$ 也是稳定的
- 3) 必须是可逆映射
- 4) 如果 $G(j0)=1$ , 则 $H(e^{j0})$ 也应等于1

# 双线性Z变换

$$s = \frac{2}{T_s} \frac{z-1}{z+1} \quad \text{或} \quad z = \frac{1 + (T_s/2)s}{1 - (T_s/2)s}$$



# 5. 双线性Z变换法设计IIR DLF

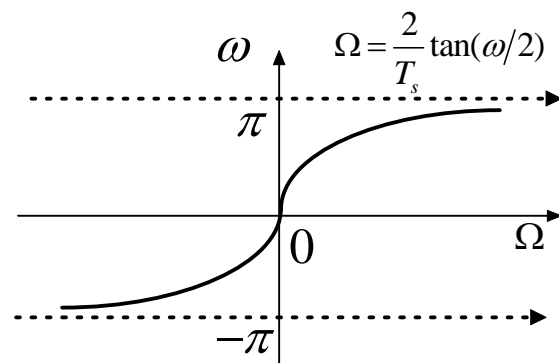
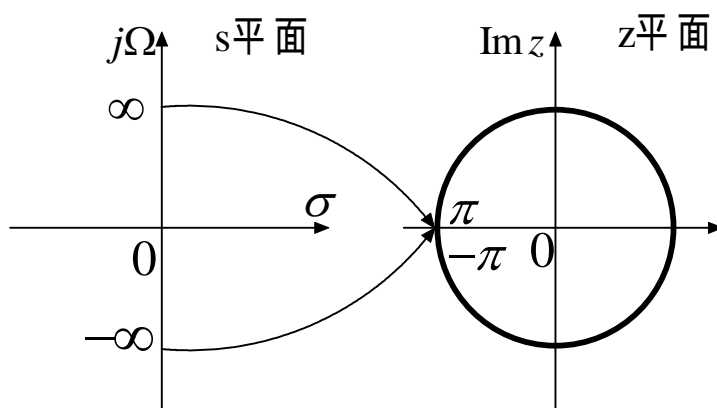
## ■ 双线性Z变换

$$s = \frac{2}{T_s} \frac{z-1}{z+1} \quad \text{或} \quad z = \frac{1 + (T_s/2)s}{1 - (T_s/2)s}$$

$$j\Omega = \frac{2}{T_s} \frac{e^{j\omega} - 1}{e^{j\omega} + 1} = j \frac{2}{T_s} \tan(\omega/2),$$

$$\text{即} \Omega = \frac{2}{T_s} \tan(\omega/2)$$

$$\text{也即} \omega = 2 \arctan(\Omega T_s / 2)$$



# 5. 双线性Z变换法设计IIR DLF

## ■ 步骤

1) 给定数字滤波器指标 $\omega_p, \omega_s, a_p, a_s$ , 转换成模拟指标, 有 $\Omega_p = \frac{2}{T_s} \tan(\omega_p/2)$

$$\Omega_s = \frac{2}{T_s} \tan(\omega_s/2), \lambda_p = 1, \lambda_s = \Omega_s / \Omega_p = \tan(\omega_s/2) / \tan(\omega_p/2)$$

2) 设计出模拟低通滤波器原型 $G(p)$ , 进而得到相应的 $G(s)$

$$G(s) = G(p) \Bigg|_{p = \frac{s}{\Omega_p}}$$

3) 用双线性Z变换求出 $H(z)$

$$H(z) = G(s) \Bigg|_{s = \frac{2}{T_s} \frac{z-1}{z+1}}$$

# 5. 双线性Z变换法设计IIR DLF

## ■ 性能分析

在双线性Z变换下 $\Omega$ 和 $\omega$ 的关系是 $\Omega = \frac{2}{T_s} \tan(\omega/2)$ ，或 $\tan(\omega/2) = \frac{\Omega T_s}{2}$

实际上 $\Omega$ 和 $\omega$ 的真实关系是 $\omega = \Omega T_s$ ，或 $\omega/2 = \frac{\Omega T_s}{2}$

在低频附近 $\omega/2$ 与 $\tan(\omega/2)$ 非常接近，当 $f > f_p$ 的高频域，出现非线性失真

因为这种失真关系是已知的，因此可以预先调整数字滤波器指标以达到抵消效果——预畸

结论：双线性Z变换消除了频域混叠现象，这是最大优点，但引入了非线性失真（可通过预畸消除）

## 第四部分(I)

# 无限冲激响应数字滤波器设计

- 1. 滤波器的基本概念
- 2. 模拟低通滤波器设计
  - 1) 巴特沃思模拟低通滤波器设计
  - 2) 切比雪夫I型模拟低通滤波器设计
- 3. 从模拟低通到其他类型模拟滤波器
- 4. 冲激响应不变法设计IIR数字低通滤波器(DLF)
- 5. 双线性Z变换法设计IIR DLF
- 6. 其他类型数字滤波器设计

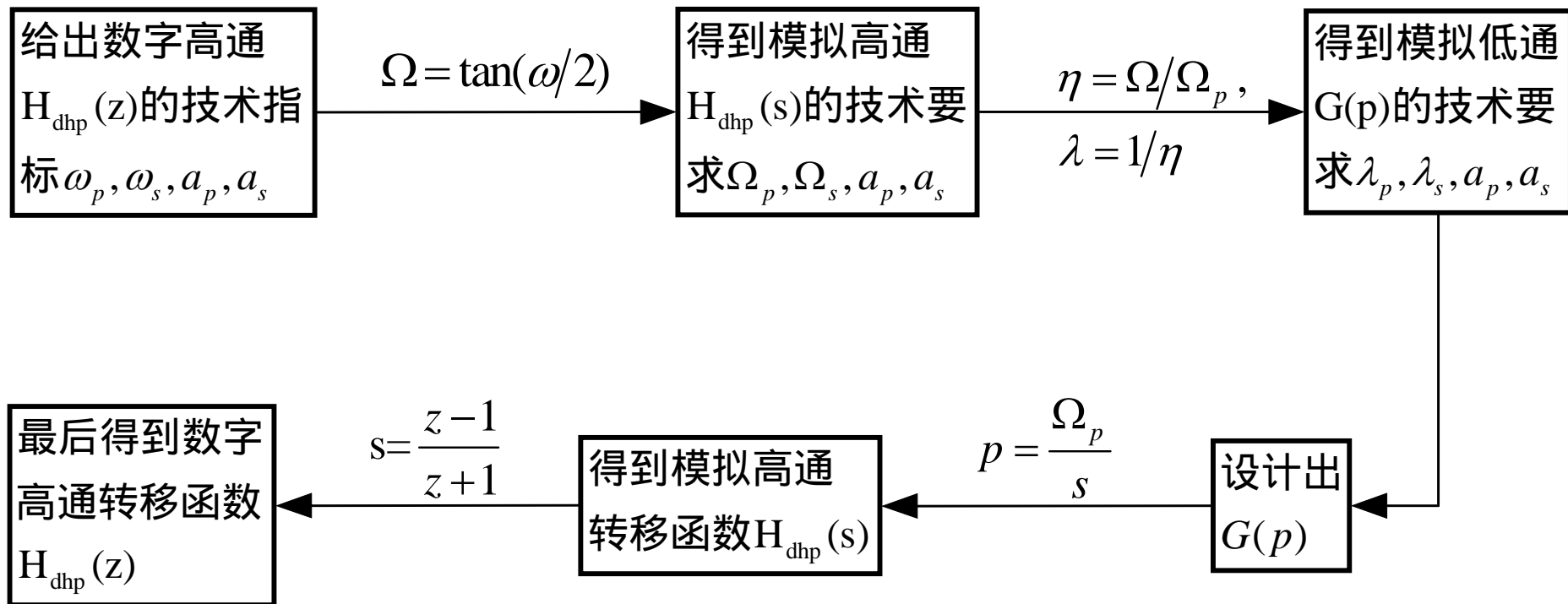


## 6. 其他类型数字滤波器设计

- 前面已经讨论了
  - 模拟低通原型滤波器设计
  - 模拟滤波器设计（ $s$ 域的频域变换）
  - 对模拟低通采样双线性 $Z$ 变换设计数字低通
- 可以很容易得到其他类型数字滤波器设计方法
  - 数字滤波器指标 -  $\rightarrow$  模拟滤波器指标
  - 模拟滤波器指标 -  $\rightarrow$  模拟低通滤波器原型的指标
  - 设计模拟低通滤波器原型 $G(p)$
  - 转换成模拟滤波器 $H(s)$
  - 双线性 $Z$ 变换将 $H(s)$ 转换成数字滤波器 $H(z)$

# 6. 其他类型数字滤波器设计

## ■ 例如：数字高通





# 与本章有关的matlab函数

- `buttord.m` - 确定数字\模拟滤波器阶数
  - `[N,Wn]=buttord(Wp,Ws,Rp,Rs)`
    - `Wp,Ws`是相对于 $F_s/2$ 的归一化频率，即 $F_s/2$ 对应1
    - `Rp,Rs`分别为通阻带衰减，单位dB
- `buttap.m` - 设计模拟低通原型
  - `[z,p,k]=buttap(N)`
    - `z,p,k`分别为 $G(p)$ 的极点、零点、增益
- `lp2lp,lp2hp,lp2bp,lp2bs` - 模拟滤波器转换
- `bilinear.m` - 双线性变换
- `butter.m` - 直接设计数字巴特沃思滤波器
- `cheb1ord;cheb1ap;cheby1`
- `cheb2ord;cheb2ap;cheby2`
- `ellipord;ellipap;ellip`

